

ALBUM FOTOGRAFICO

HOJA 30-16

BUJARALUZ

MARZO/92

444

COMPANIA GENERAL DE SONDEOS, S.A.

FOTO CM-9400: Serie de la Val de la Liberola. Calizas con perforaciones producidas por raíces, correspondientes a la parte media-superior de la Unidad Torrente de Cinca-Alcolea de Cinca.

FOTO CM-9401: Serie de la Val de la Liberola. Calizas con superficies de reactivación y con estratificación cruzada **Hummocky**. Parte media-superior de la Unidad Torrente de Cinca-Alcolea de Cinca.

PASA A 415 - MEQUINENZA



FOTO CM-9403: Serie del Barranco de Valdesevilla. Estructuras tractivas y estratificación cruzada **Hummocky**, en las calizas de la Unidad Torrente de Cinca-Alcolea de Cinca.

FOTO CM-9404: Serie del Barranco de Valdesevilla. Ciclo de facies, correspondiente a las facies lacustre-palustre de la Unidad Galocha-Ontiñena.



FOTO CM-9405: Serie del Barranco de Valserenosa. Superficies de reactivación, que se desarrollan en las facies lacustre-palustre de la Unidad Torrente de Cinca-Alcolea de Cinca.

FOTO CM-9406: Serie del Refugio de Pescadores. Depósitos de barras de meandro que se desarrollan en la parte inferior de la Unidad Torrente de Cinca-Alcolea de Cinca. Obsérvense las superficies de acreción lateral.



FOTO CM-9407: Barranco de los Arenales. Paleocanales de arenisca, correspondientes a la base de la Unidad Galocha-Ontiñena.

FOTO CM-9409: Carretera de Candasnos a Caspe. Facies evaporíticas de la Unidad Galocha-Ontiñena.



FOTO CM-9410: Cerro de Valdeladrones. Visión de la parte inferior-media, de la Unidad Bujaraloz-Sariñena. La base, está formada por paleocanales de arenisca y arcillas y, el techo, por el nivel carbonático de Valdeladrones.

FOTO CM-9411: Vista de los paleocanales de arenisca, que configuran la base de la Unidad Bujaraloz-Sariñena, en la zona de Valdeladrones.



FOTO CM-9412: En la foto, se observan cuerpos de arenisca que se intercalan entre las facies carbonáticas de la parte superior de la Unidad Torrente de Cinca-Alcolea de Cinca, en la zona del Cerro del Balcón.

FOTO CM-9413: Vista del Embalse de Mequinenza desde el balcón. Las superficies estructurales, que se desarrollan en las inmediaciones del embalse, están formadas por los carbonatos que constituyen la parte superior de la Unidad de Mequinenza-Ballobar.



FOTO CM-9414: Vista general de las Unidades Torrente de Cinca-Alcolea de Cinca y de Galocha-Ontiñena, desde las laderas del Cerro del Balcón.



FOTO CM-9415: Barranco de Bujadal. Vista de las facies evaporíticas de la Unidad Torrente de Cinca-Alcolea de Cinca. Estas facies, se desarrollan entre las facies aluviales y las carbonáticas que configuran dicha Unidad.

FOTO CM-9416: Vista general, del contacto entre las Unidades de Torrente de Cinca-Alcolea de Cinca y de Galocha-Ontiñena, desde el Mas del Hombre.



FOTO CM-9417: Pico de Crispín. Depósito de barra de meandro, de la Unidad Torrente de Cinca-Alcolea de Cinca, obsérvese las superficies de reactivación que existen en los bancos de arenisca y que erosionan a cosets de láminas con estratificación cruzada planar.

FOTO CM-9418: Pico de Crispín. Vista de la parte superior de la Unidad Torrente de Cinca-Alcolea de Cinca constituida por carbonatos de origen lacustre-palustre.

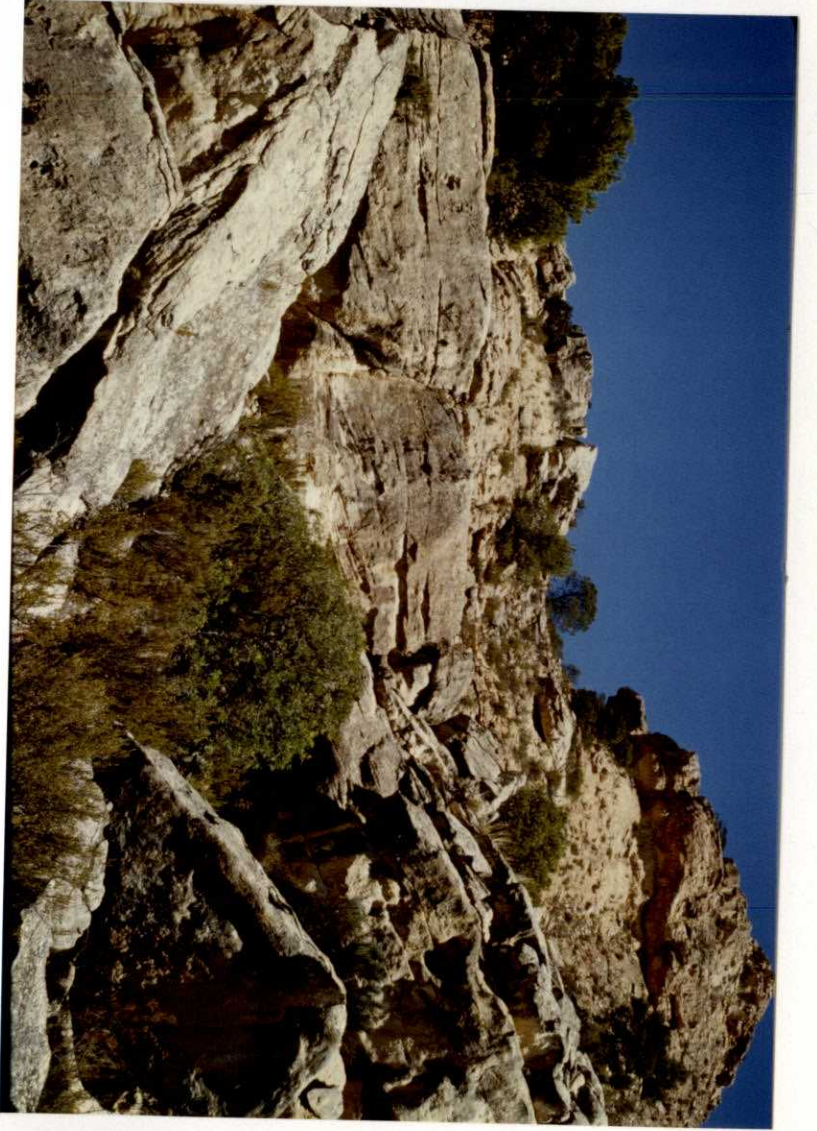
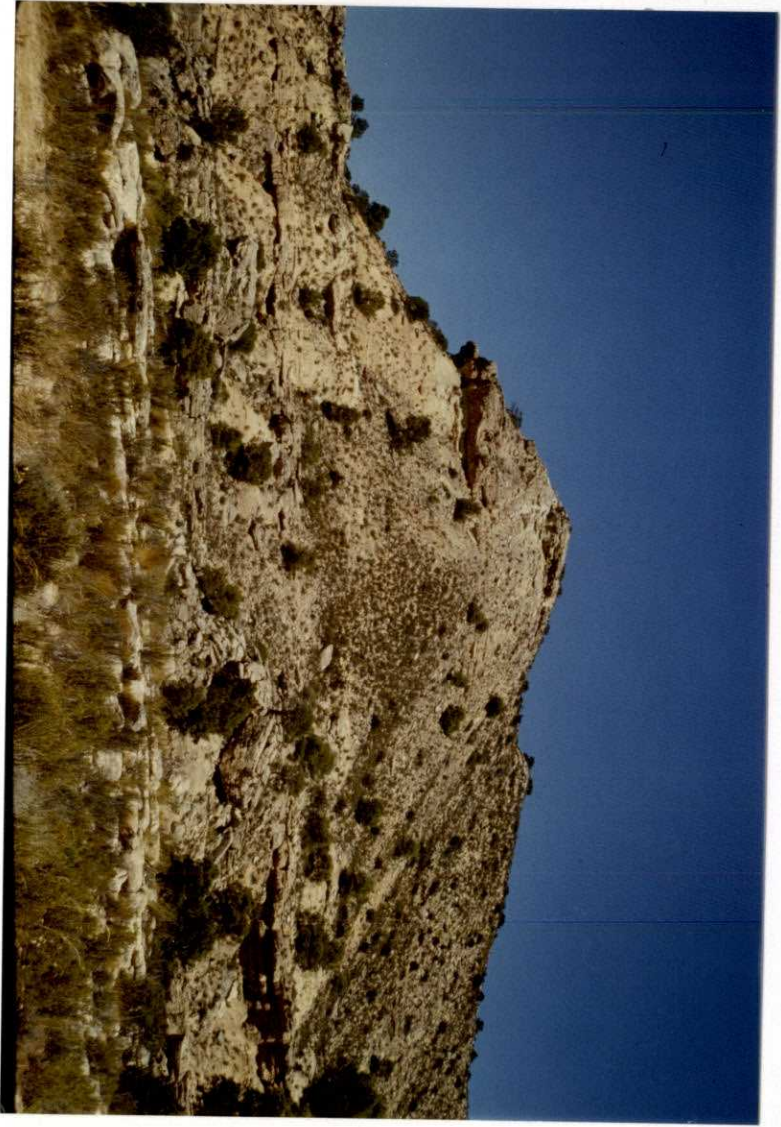


FOTO CM-9419: Vista general de la Unidad Torrente de Cinca-Alcolea de Cinca y de la parte inferior de la Unidad Galocha-Ontiñena, en las inmediaciones del Pico de Crispín.

FOTO CM-9420: Capas de arenisca tabulares, con laminación paralela y **ripples**. Constituyen la parte superior de la Unidad de Mequinenza-Ballobar, la cual está básicamente formada por facies de llanura de inundación entre las que se intercalan capas carbonáticas de origen lacustre-palustre.



FOTO CM-9421: Embalse de Mequinenza. Vista de las facies pelítico-arenosas y carbonáticas, respectivamente, correspondientes a facies de llanura de inundación y a facies lacustre-palustres, de la Unidad de Mequinenza-Ballobar.

FOTO CM-9422: Embalse de Mequinenza. Vista del contacto entre las Unidades de Mequinenza-Ballobar y de Torrente de Cinca-Alcolea de Cinca.



FOTO SS-9500:

Vista en afloramiento de la parte superior de la columna de La Laguna de Pueyo (13). Se observa la sucesión litológica constituida por margas, calcisiltitas y niveles de yeso. Se observa el aspecto nodular del yeso que se halla englobado entre los demás materiales. Unidad de Bujaraloz-Sariñena.

FOTO SS-9501:

Vista del mismo afloramiento anterior desde un punto más alejado. Se observa un dominio de facies carbonatadas en la parte basal y un dominio de las facies evaporíticas más hacia techo. De todas formas existe un nivel carbonatado que culmina esta serie. Unidad Bujaraloz-Sariñena.



FOTO SS-9502:

Otro aspecto de la parte basal de la columna de La Laguna de Pueyo (13). Las capas de calcisiltita de la base poseen gran abundancia de perforaciones por raíces y de porosidad por disolución. Unidad de Bujaraloz-Sariñena.



FOTO SS-9503:

Vista de la zona donde se enlazan las lagunas de Pueyo (hacia la derecha) y la Playa (sector central de la fotografía). Estas dos lagunas se desarrollan en la parte media de la unidad de Bujaraloz-Sariñena, en concreto sobre el nivel carbonatado de Valdeladrones (10) y de la unidad cartográfica (11).

FOTO SS-9504:

Esta fotografía se ha realizado entre los Barrancos de Valdeforcas y de Fongos. Se trata de un pequeño barranco que se dirige hacia el SE hasta el Barranco de Fongos. La superficie estructural que se observa en la parte izquierda y en segundo término está soportada por las calizas (8) que constituyen la parte alta de la Unidad de Galocha-Ontiñena (Pico San Vicente). Hacia las partes medias de los escarpes se hallan las facies detríticas (6) de la base de la unidad.



FOTO SS-9505:

Otra vista del mismo sector en que se pueden apreciar los bancos calizos que constituyen el techo de la unidad Galocha-Ontiñena (Pico San Vicente). En segundo término se distingue una superficie sembrada de cereal (color amarillo) que corresponde al nivel carbonatado intermedio que se ha podido diferenciar en algunas zonas dentro de la Unidad de Galocha-Ontiñena (Pico San Vicente).

FOTO SS-9506:

Otra visión del mismo sector que la foto (SS-9505).

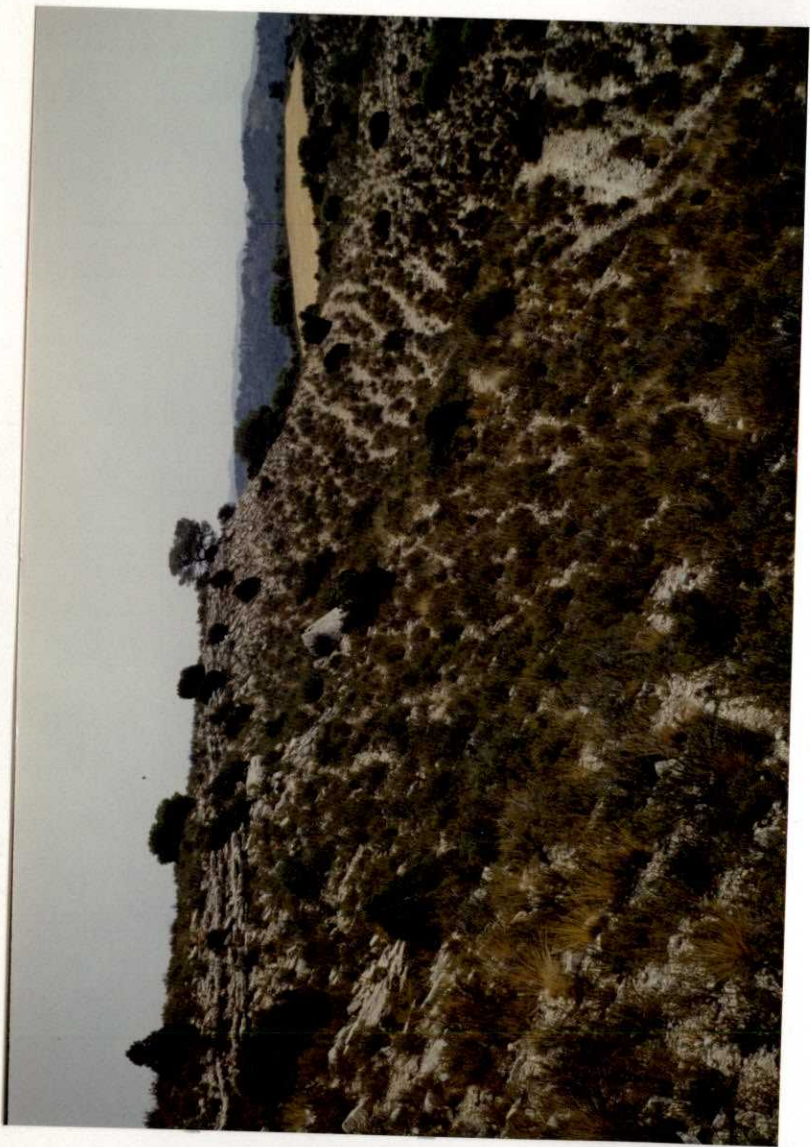


FOTO SS-9507:

Vista de El Salobral en las inmediaciones de Bujaraloz. Se trata de una laguna desarrollada sobre las facies evaporíticas cartografiadas como (13) dentro de la Unidad Bujaraloz-Sariñena. se puede observar el recubrimiento vegetal constituido por dos tipos de plantas adaptadas a un suelo de carácter salino.

* PASA A 386 - PEÑALBA *

FOTO SS-9508:

Vista de la parte E de la Laguna de Pueyo. Se pueden observar las facies evaporíticas (11) que afloran en los taludes y el relleno, predominantemente arcillo-limoso, del fondo de la laguna. Unidad Bujaraloz-Sariñena.



FOTO SS-9509: Vista de la Laguna de Pueyo y de la zona donde se ha levantado la columna (13), en el talud de la parte izquierda.

FOTO SS-9510: Detalle de grietas de desecación en la laguna de La Playa. Además de las grietas cabe destacar las eflorescencias salinas que recubren el sedimento margo-arcilloso gris que rellena el fondo de la depresión. Esta laguna se desarrolla en la Unidad Bujaraloz-Sariñena.



FOTO SS-9511: Vista de la Laguna la Playa desde su margen SE. Se puede observar la extensa llanura que constituye el fondo de dicha zona endorreica.

FOTO SS-9512: Otra vista de la misma laguna. Se observa que no existe recubrimiento vegetal y tan solo algún resto vegetal transportado por el viento perturba la extensa y llana superficie.

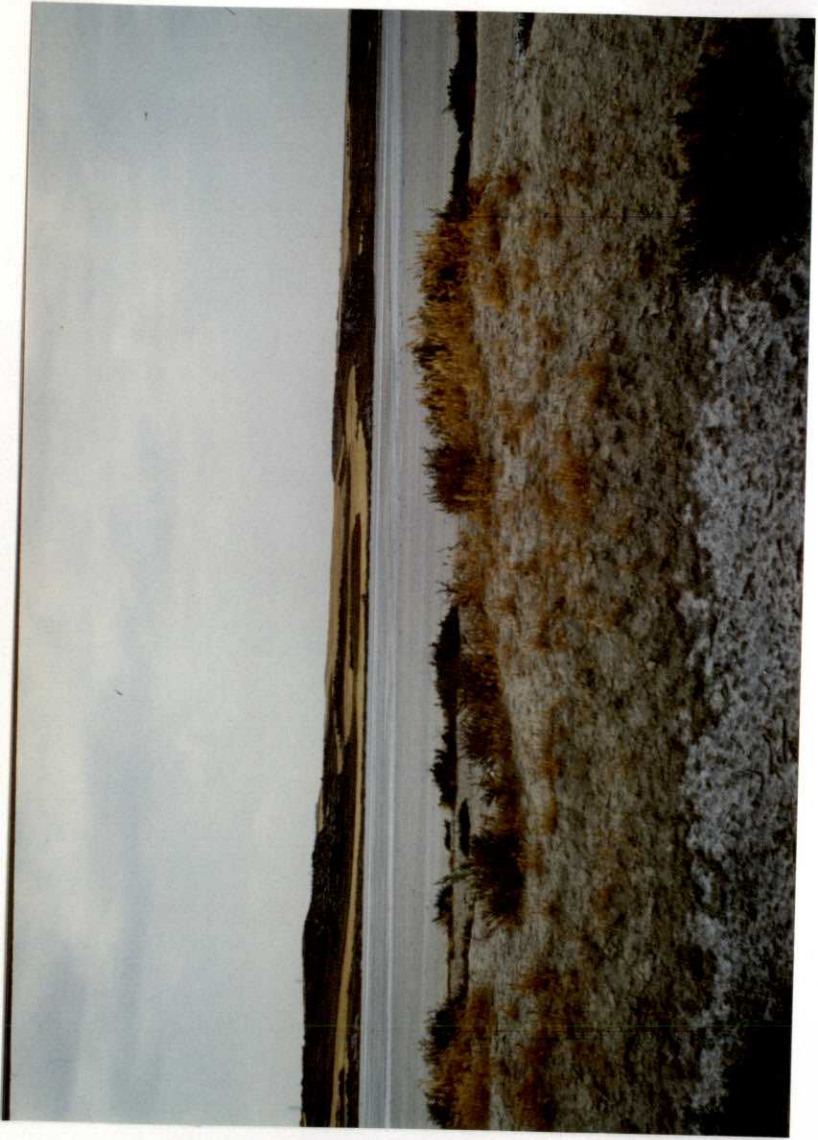


FOTO SS-9513: Otro aspecto de la misma laguna donde se observa su extraordinaria extensión areal.



FOTO AO-9001: Laguna de La Playa al Oeste de la hoja. Fondo de dolina con encharcamiento temporal.

FOTO AO-9002: Morfología de dolina a la altura del km 21 de la Carretera de Caspe a Bujaraloz.



FOTO AO-9003: Depósito de terraza y coluvión en el Arroyo de Valcuerna.



FOTO AO-9004: Depósito de piedemonte pirenaico al Este de Candasnos.















































